

# Охота за нулями рядов Дирихле средствами линейной алгебры. III

Ю. В. МАТИЯСЕВИЧ

Санкт-Петербургское отделение  
Математического института  
им. В. А. Стеклова РАН

yumat@pdmi.ras.ru

**Аннотация.** В первой части (doi:10.13140/RG.2.2.29328.43528) и во второй части (doi:10.13140/RG.2.2.20434.22720) автор продемонстрировал на численных примерах, как можно вычислить приближённые значения нулей дзета-функции Римана, знакопеременной дзета-функции и функции Давенпорта–Хайльбронна средствами линейной алгебры. В настоящей работе продемонстрированы, опять только на численных примерах, неочевидные пути вычисления значений отдельных слагаемых,  $n^{-s}$ , ряда Дирихле для дзета-функции, когда  $s$  является её тривиальным или нетривиальным нулём.

10 рисунков, 16 таблиц.

**Ключевые слова:** нули дзета-функции Римана.

## **ПРЕПРИНТЫ ПОМИ РАН**

**ГЛАВНЫЙ РЕДАКТОР**

**С. В. Кисляков**

**РЕДКОЛЛЕГИЯ**

В. М. Бавич, Н. А. Вавилов, А. М. Вершик, М. А. Всемирнов,  
А. И. Генералов, И. А. Ибрагимов, Л. Ю. Колотилина,  
Ю. В. Матиясевич, Н. Ю. Нецевтаев, С. И. Репин, Г. А. Серегин

Учредитель: Федеральное государственное бюджетное учреждение науки  
Санкт-Петербургское отделение Математического института  
им. В. А. Стеклова Российской академии наук

Свидетельство о регистрации средства массовой информации:

ЭЛ №ФС 77-33560 от 16 октября 2008 г.

Выдано Федеральной службой по надзору  
в сфере связи и массовых коммуникаций

Контактные данные:

191023, г. Санкт-Петербург, наб. реки Фонтанки, дом 27

телефоны: (812) 312-40-58; (812) 571-57-54

e-mail: [admin@pdmi.ras.ru](mailto:admin@pdmi.ras.ru)

<https://www.pdmi.ras.ru/preprint/>

Заведующая информационно-издательским сектором В. Н. Симонова

# 1 Дзета-функция Римана и его гипотеза

*Дзета-функция Римана* может быть определена при  $\operatorname{Re}(s) > 0$  рядом Дирихле

$$\zeta(s) = 1^{-s} + 2^{-s} + \dots + n^{-s} + \dots \quad (1.1)$$

и аналитически продолжена на всю комплексную плоскость за исключением точки  $s = 1$ , которая является простым полюсом этой функции.

Для вещественных значений  $s$  эту функцию рассматривал ещё Леонард Эйлер. В частности, он указал, что  $\zeta(s)$  обращается в ноль при  $s = -2, -4, \dots$ , и отрицательные чётные числа известны как *тривиальные нули* дзета-функции.

Бернард Риман доказал [11], что других вещественных нулей у этой функции нет, а все невещественные, называемые *нетривиальными*, лежат в *критической полосе*  $0 \leq \operatorname{Re}(s) \leq 1$ . В той же работе он высказал свою знаменитую гипотезу о том, что, более того, все нетривиальные нули лежат на *критической прямой*  $\operatorname{Re}(s) = 1/2$ . Поскольку функция  $\zeta(s)$  вещественна при вещественном аргументе  $s$ , то для каждого её нуля  $\rho$  комплексно-сопряженное число  $\bar{\rho}$  также является нулём этой функции. По этой причине достаточно работать только с нулями

$$\rho_1, \rho_2, \dots, \rho_k, \dots \quad (1.2)$$

лежащими в верхней полуплоскости. Нули в нижней полуплоскости будут нумероваться отрицательными числами,

$$\rho_{-k} = \overline{\rho_k}, \quad k = 1, 2, \dots . \quad (1.3)$$

Мы будем предполагать, что нетривиальные нули занумерованы так, что

$$0 < \gamma_1 \leq \gamma_2 \leq \dots \leq \gamma_k \leq \dots , \quad (1.4)$$

где здесь и ниже

$$\gamma_k = \operatorname{Im}(\rho_k), \quad k = \pm 1, \pm 2, \dots . \quad (1.5)$$

В [10] сообщается об установлении с помощью компьютерного счёта того факта, что нули

$$\rho_1, \rho_2, \dots, \rho_{12363153437138} \quad (1.6)$$

являются простыми и удовлетворяют гипотезе Римана. Что касается мнимых частей нетривиальных нулей дзета-функции, уже Риман вычислил их приближенные значения для нескольких начальных нулей; его вычисления были продолжены многими исследователями. Таблица 1 даёт значения нескольких начальных нетривиальных нулей, а Рис. 1 показывает их положение на комплексной  $S$ -плоскости.

$k$	$\rho_k$
1	$0.5 + 14.13472514173469379045\dots i$
2	$0.5 + 21.02203963877155499262\dots i$
3	$0.5 + 25.01085758014568876321\dots i$
4	$0.5 + 30.42487612585951321031\dots i$
5	$0.5 + 32.93506158773918969066\dots i$
6	$0.5 + 37.58617815882567125721\dots i$
7	$0.5 + 40.91871901214749518739\dots i$
8	$0.5 + 43.32707328091499951949\dots i$
9	$0.5 + 48.00515088116715972794\dots i$
10	$0.5 + 49.77383247767230218191\dots i$

Таблица 1: Начальные нетривиальные нули дзета-функции Римана.

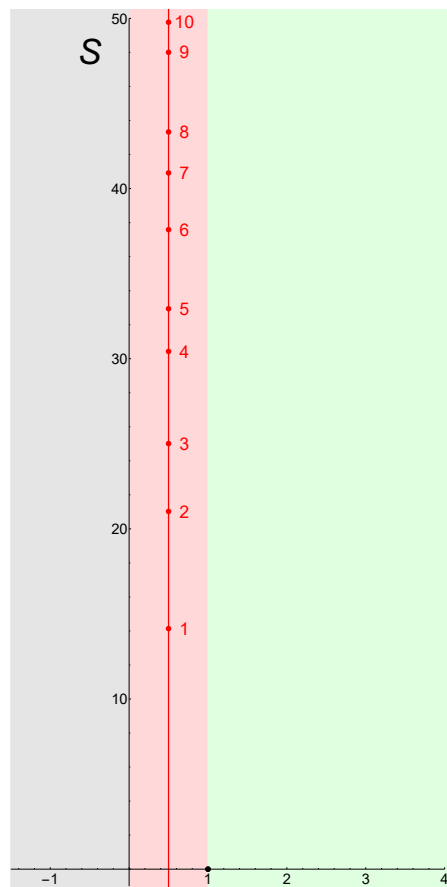


Рис. 1: Полуплоскость сходимости ряда Дирихле (1.1) ( $\operatorname{Re}(s) > 1$ , зелён.), полюс ( $s = 1$ , чёрная точка), критическая полоса ( $0 \leq \operatorname{Re}(s) \leq 1$ , розов.), критическая прямая ( $\operatorname{Re}(s) = 1/2$ , красн.) и нетривиальные нули дзета-функции из Таблицы 1 (пронумерованные красные точки на критической прямой) на  $S$ -плоскости.

$k$	$P_2(\rho_k)$	$P_3(\rho_k)$
1	$-0.6585\dots + 0.2574\dots i$	$-0.5680\dots - 0.1030\dots i$
2	$-0.2974\dots - 0.6414\dots i$	$-0.2598\dots + 0.5155\dots i$
3	$0.0405\dots + 0.7059\dots i$	$-0.4034\dots - 0.4129\dots i$
4	$-0.4383\dots - 0.5548\dots i$	$-0.2450\dots - 0.5227\dots i$
5	$-0.4731\dots + 0.5254\dots i$	$0.0314\dots + 0.5764\dots i$
6	$0.4283\dots - 0.5625\dots i$	$-0.5193\dots + 0.2521\dots i$
7	$-0.7043\dots + 0.0623\dots i$	$0.3256\dots - 0.4767\dots i$
8	$0.1313\dots + 0.6947\dots i$	$-0.5132\dots + 0.2644\dots i$
9	$-0.2007\dots - 0.6780\dots i$	$-0.4532\dots - 0.3576\dots i$
10	$-0.7059\dots - 0.0402\dots i$	$-0.1682\dots + 0.5522\dots i$

$k$	$P_4(\rho_k)$	$P_5(\rho_k)$
1	$0.3674\dots - 0.3391\dots i$	$-0.3248\dots + 0.3073\dots i$
2	$-0.3230\dots + 0.3816\dots i$	$-0.3350\dots - 0.2961\dots i$
3	$-0.4967\dots + 0.0573\dots i$	$-0.3722\dots - 0.2478\dots i$
4	$-0.1157\dots + 0.4864\dots i$	$0.1202\dots + 0.4307\dots i$
5	$-0.0522\dots - 0.4972\dots i$	$-0.4118\dots - 0.1742\dots i$
6	$-0.1329\dots - 0.4819\dots i$	$-0.3108\dots + 0.3215\dots i$
7	$0.4922\dots - 0.0879\dots i$	$-0.4441\dots - 0.0523\dots i$
8	$-0.4654\dots + 0.1825\dots i$	$0.3647\dots - 0.2588\dots i$
9	$-0.4193\dots + 0.2722\dots i$	$-0.1288\dots - 0.4282\dots i$
10	$0.4967\dots + 0.0568\dots i$	$-0.0012\dots + 0.4472\dots i$

Таблица 2: Образы начальных нетривиальных нулей дзета-функции Римана из Таблицы 1 при отображениях  $P_2$ – $P_5$ .

## 2 Основные понятия и обозначения

В этом разделе будут определены основные объекты нашего изучения. Их рассмотрение является далеко идущим развитием описанных в [6, 9] методов вычисления нулей дзета-функции средствами линейной алгебры.

Основная идея, предложенная в [6], абсолютно тривиальна: согласно (1.1) с совершенно формальной точки зрения  $\zeta(s)$  является линейной функцией от бесконечного количества величин

$$s_1, s_2, \dots, s_n, \dots, \quad (2.1)$$

где

$$s_n = P_n(s), \quad P_n(s) = n^{-s}; \quad (2.2)$$

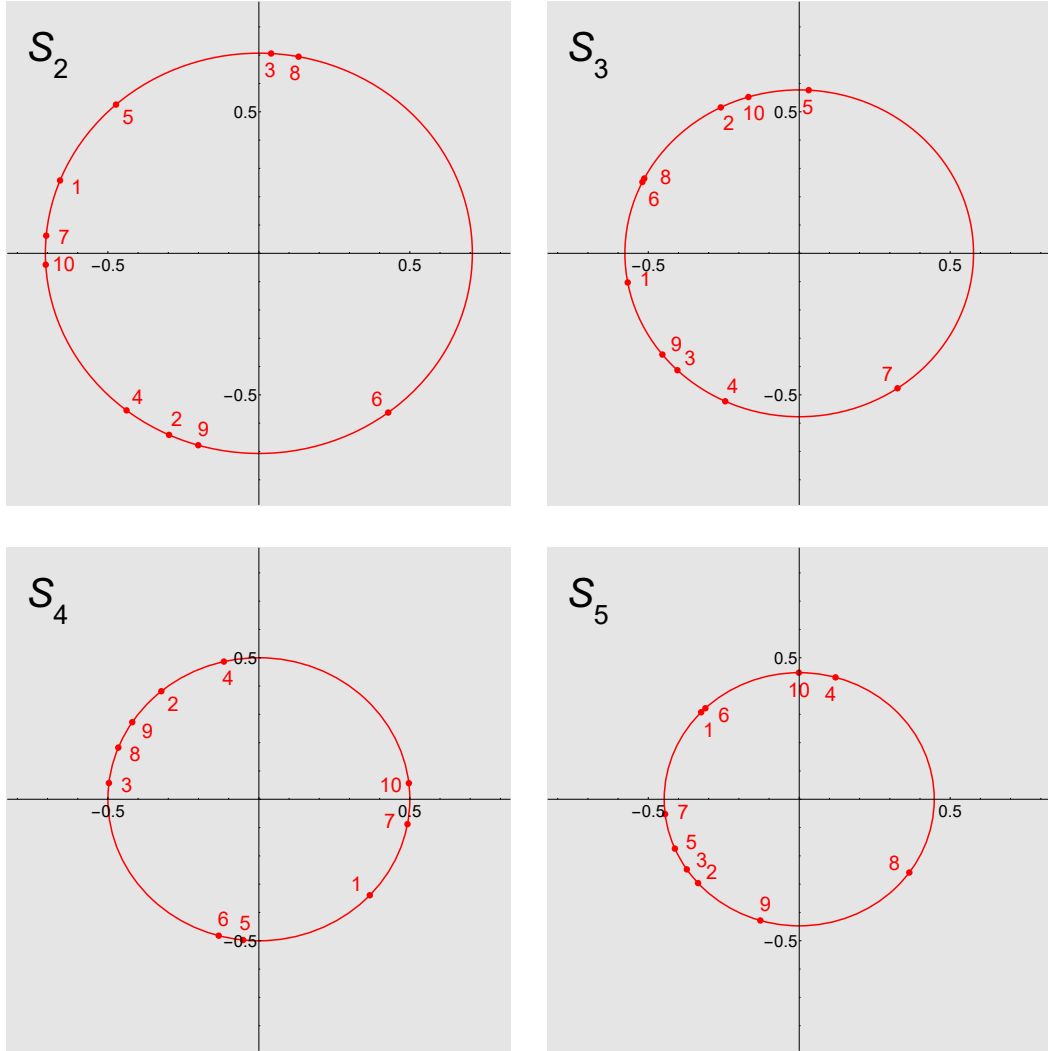


Рис. 2: Критические окружности ( $|s| = n^{-1/2}$ , красн.) и  $P_n$ -образы нетривиальных нулей дзета-функции из Таблицы 1 (пронумерованные красные точки на критических окружностях) на  $S_n$ -плоскостях,  $n = 2, 3, 4, 5$ .

в данный в данный момент мы полностью игнорируем вопрос о том, в каком смысле сумма

$$s_1 + s_2 + \dots + s_n + \dots \quad (2.3)$$

сходится к  $\zeta(s)$  при  $\operatorname{Re}(s) \leq 1$ .

В соответствии с этой точкой зрения мы будем работать не с самими нулями дзета-функции, а с их  $P_n$ -образами. Отображения  $P_1, P_2, \dots$  определены в (2.2); мы считаем, что  $P_n$  отображает комплексную  $S$ -плоскость в другой

экземпляр комплексной плоскости, обозначаемый  $S_n$ . Там лежат образы три-виальных нулей

$$P_n(-2k) = n^{-2k}, \quad k = 1, 2, \dots \quad (2.4)$$

и образы нетривиальных нулей

$$P_n(\rho_k) = n^{-\rho_k}, \quad k = \pm 1, \pm 2, \dots \quad (2.5)$$

При отображении  $P_n$  критическая прямая  $\operatorname{Re}(s) = 1/2$  с  $S$ -плоскости переходит в *критическую окружность*  $|s| = n^{-1/2}$  на  $S_n$ -плоскости.

Таблица 2 даёт несколько значений  $P_n$ -образов нулей из Таблицы 1, а Рис. 2 показывает их положение на соответствующих критических окружностях на  $S_n$ -плоскостях.

Отображение  $P_n$  имеет период, равный  $2\pi i / \ln(n)$ , и потому оно не является взаимно-однозначными. Следовательно, переходя от  $\rho_k$  к его образу  $P_n(\rho_k)$  мы частично теряем информацию о мнимой части этого нуля. Тем не менее, сохраняющейся информации хватает для проверки гипотезы Римана – для того, чтобы нуль  $\rho_k$  удовлетворял этой гипотезе, достаточно установить, что хотя бы для одного  $n$ , превосходящего 1,  $P_n$ -образ этого нуля лежит на соответствующей критической окружности, то есть  $|P_n(\rho_k)| = n^{-1/2}$ .

Зафиксируем некоторое натуральное число  $N$  и попробуем найти  $N$  чисел

$$\varrho_{N,1}, \dots, \varrho_{N,n}, \dots, \varrho_{N,N}, \quad (2.6)$$

которые были бы примерно равны  $P_n$ -образам

$$P_1(\rho), \dots, P_n(\rho), \dots, P_N(\rho) \quad (2.7)$$

некоторого нуля дзета-функции, тривиального или нетривиального. Для достижения этой цели вместо бесконечного ряда (1.1) мы можем использовать какой-либо конечный ряд Дирихле

$$D_N(s) = d_{N,1}1^{-s} + \dots + d_{N,n}n^{-s} + \dots + d_{N,N}N^{-s}, \quad (2.8)$$

дающий хорошие приближения к  $\zeta(s)$  для  $s$ , близких к  $\rho$ . Для такого ряда

$$d_{N,1}P_1(\rho) + \dots + d_{N,n}P_n(\rho) + \dots + d_{N,N}P_N(\rho) \approx 0. \quad (2.9)$$

Вместо этого *приближительного* обнуления (2.9) линейной формы на *точных* значений  $P_n$ -образов (2.7) мы потребуем *точного* обнуления той же линейной формы, но на искомых *приближениях* (2.6) к значениям этих образов:

$$d_{N,1}\varrho_{N,1} + \dots + d_{N,n}\varrho_{N,n} + \dots + d_{N,N}\varrho_{N,N} = 0. \quad (2.10)$$

Очевидно, что одного уравнения (2.10) недостаточно для определения значений всех  $N$  неизвестных (2.6). Одно дополнительное уравнение указать легко:

$$\varrho_{N,1} = 1. \quad (2.11)$$

Выбор других дополнительных уравнений не очевиден.

Мы будем использовать тот тривиальный факт, что  $\rho$  является нулём не только  $\zeta(s)$ , но и любой функции вида  $F(s)\zeta(s)$ , где  $F(s)$  – целая функция. Конечно, равенство  $F(\rho)\zeta(\rho) = 0$  само по себе не несёт никакой дополнительной информации о  $\rho$  по сравнению с исходным равенством  $\zeta(\rho) = 0$ . В нашем случае, однако, у аналога равенства (2.10) для  $F(s)\zeta(s)$  будут другие коэффициенты, и это даст требуемые дополнительные ограничения на значения неизвестных.

В качестве такого множителя  $F(s)$  мы будем использовать экспоненты  $1^{-s}, \dots, m^{-s}, \dots, (N-1)^{-s}$ . Мы хотим определить конечные ряды

$$D_{N,m}(s) = d_{N,m,1}1^{-s} + \dots + d_{N,m,n}n^{-s} + \dots + d_{N,m,N}N^{-s}, \quad (2.12)$$

дающие хорошие приближения к  $m^{-s}\zeta(s)$  для  $s$ , близких к  $\rho$ . Мы, однако, не знаем этого нуля, и его роль выполнит комплексный параметр  $a$ , отличный от 1. А именно, мы будем работать с параметризованными рядами вида

$$D_{N,m}(a, s) = \sum_{n=1}^N d_{N,m,n}(a)n^{-s}. \quad (2.13)$$

Для того, чтобы такой ряд давал хорошие приближения к  $m^{-s}\zeta(s)$  для  $s$  вблизи  $a$  мы используем разложение этого произведения в ряд Тейлора:

$$m^{-s}\zeta(s) = \sum_{l=0}^{\infty} \zeta_{m,l}(a)(s-a)^l, \quad (2.14)$$

где

$$\zeta_{m,l}(a) = \frac{1}{l!} \left. \frac{d^l m^{-s} \zeta(s)}{ds^l} \right|_{s=a}. \quad (2.15)$$

Мы возьмём начальный отрезок ряда (2.14) длины  $N$ ,

$$T_{N,m}(a, s) = \sum_{l=0}^{N-1} \zeta_{m,l}(a)(s-a)^l, \quad (2.16)$$

и потребуем, чтобы тот же самый многочлен был начальным отрезком ряда Тейлора и для  $D_{N,m}(a, s)$ :

$$D_{N,m}(a, s) = T_{N,m}(a, s) + O((s-a)^N); \quad (2.17)$$

иными словами, у  $D_{N,m}(a, s)$  и  $m^{-s}\zeta(s)$  должны совпадать начальные производные в точке  $s = a$ :

$$\frac{d^l D_{N,m}(a, s)}{ds^l} \Big|_{s=a} = \frac{d^l m^{-s}\zeta(s)}{ds^l} \Big|_{s=a}, \quad l = 0, \dots, N-1. \quad (2.18)$$

Легко видеть, что (2.18) – это линейная система из  $N$  уравнений с  $N$  неизвестными

$$d_{N,m,1}(a), \dots, d_{N,m,n}(a), \dots, d_{N,m,N}(a). \quad (2.19)$$

Найдя их значения для  $m = 1, \dots, N-1$ , мы будем решать систему с  $N$  неизвестными

$$\varrho_{N,1}(a), \dots, \varrho_{N,n}(a), \dots, \varrho_{N,N}(a), \quad (2.20)$$

состоящую из уравнений

$$\sum_{n=1}^N d_{N,m,n}(a) \varrho_{N,n}(a) = 0, \quad m = 1, \dots, N-1 \quad (2.21)$$

(это параметризованные аналоги уравнений (2.10)) и уравнения

$$\varrho_{N,1}(a) = 1 \quad (2.22)$$

(это параметризованный аналог уравнения (2.11)). Мы будем *надеяться*, что решение этой системы даст нам приближенные значения  $P_n$ -образов некоторого нуля  $\rho$ , лежащего недалеко от  $a$ .

Так определённые функции  $\varrho_{N,n}(a)$  и будут основным объектом нашего изучения; *a priori* они могут быть неопределены для некоторых значений  $a$  — когда одна из систем (2.18) или система (2.21)–(2.22) не имеет решения.

## 2.1 Явные формулы для вычисления $\varrho_{N,n}(a)$

Запишем систему (2.18) в матричном виде.

Объединим неизвестные (2.19) в вектор-столбец

$$V_{N,m}(a) = \begin{bmatrix} d_{N,m,1}(a) \\ \vdots \\ d_{N,m,N}(a) \end{bmatrix} = \left[ d_{N,m,n}(a) \right]_{n=1}^N. \quad (2.23)$$

Согласно (2.12)

$$\frac{d^l D_{N,m}(a, s)}{ds^l} \Big|_{s=a} = \sum_{n=1}^N (-\ln(n))^l n^{-a} d_{N,m,n}(a), \quad (2.24)$$

и из коэффициентов правой части мы построим матрицу

$$L_N(a) = \left[ (-\ln(n))^l n^{-a} \right]_{n=1}^{N-1} \Big|_{l=0}. \quad (2.25)$$

В этих обозначениях система (2.18) записывается как

$$L_N(a)V_{N,m}(a) = Z_{N,m}(a), \quad (2.26)$$

где

$$Z_{N,m}(a) = \left[ \frac{d^l m^{-s} \zeta(s)}{ds^l} \Big|_{s=a} \right]_{l=0}^{N-1}. \quad (2.27)$$

Элементы вектора  $Z_{N,1}(a)$  – это значения дзета-функции Римана и её производных в точке  $s = a$ , для их вычисления было предложено много эффективных алгоритмов, и такие алгоритмы реализованы во многих системах компьютерной алгебры. Вектора  $Z_{N,m}(a)$  для  $m > 1$  легко могут быть вычислены через вектор  $Z_{N,1}(a)$  следующим образом.

Рассмотрим вектора

$$\tilde{Z}_{N,m}(a) = \left[ \zeta_{m,l}(a) \right]_{l=0}^{N-1}, \quad (2.28)$$

где числа  $\zeta_{m,l}(a)$  определены в (2.15). Эти вектора связаны с векторами  $Z_{N,m}(a)$  очевидным соотношением

$$Z_{N,m}(a) = F_N \tilde{Z}_{N,m}(a), \quad (2.29)$$

где  $F_N$  – диагональная матрица,

$$F_N = \left[ f_{i,j} \right]_{i=0}^{N-1} \Big|_{j=0}^{N-1}, \quad (2.30)$$

$$f_{i,j} = \begin{cases} i!, & \text{если } i = j, \\ 0, & \text{в противном случае.} \end{cases} \quad (2.31)$$

Экспонента  $m^{-s}$  имеет следующее разложение:

$$m^{-s} = \sum_{l=0}^{\infty} \frac{m^{-a}(-\log(m))^l}{l!} (s-a)^l \quad (2.32)$$

(если  $m = 1$  и  $l = 0$ , то мы считаем, что выражение  $(-\log(m))^l$  равно 1). Образуем из элементов этого разложения нижнетреугольную тёплицеву  $N \times N$  матрицу

$$X_{N,m}(a) = \left[ \chi_{m,i,j}(a) \right]_{i=0}^{N-1} \Big|_{j=0}^{N-1}, \quad (2.33)$$

где

$$\chi_{m,i,j}(a) = \begin{cases} \frac{m^{-a}(-\log(m))^{i-j}}{(i-j)!}, & \text{если } i \geq j, \\ 0, & \text{в противном случае.} \end{cases} \quad (2.34)$$

В этих обозначениях

$$\tilde{Z}_{N,m}(a) = X_{N,m}(a) \tilde{Z}_{N,1}(a) \quad (2.35)$$

и, соответственно,

$$Z_{N,m}(a) = F_N X_{N,m}(a) F_N^{-1} Z_{N,1}(a). \quad (2.36)$$

Подставляя это выражение для  $Z_{N,m}(a)$  в (2.26), мы получаем запись системы (2.18) в виде

$$L_N(a) V_{N,m}(a) = F_N X_{N,m}(a) F_N^{-1} Z_{N,1}(a), \quad (2.37)$$

а её решения – в виде

$$V_{N,m}(a) = L_N^{-1}(a) F_N X_{N,m}(a) F_N^{-1} Z_{N,1}(a). \quad (2.38)$$

Таким образом, числа  $d_{N,m,l}(a)$  являются некоторыми линейными комбинациями значений дзета-функции Римана и её производных в точке  $s = a$ .

Для матричной записи системы (2.21)–(2.22) мы объединим неизвестные (2.20) в вектор-столбец

$$R_{N,m}(a) = \left[ \varrho_{N,n}(a) \right]_{n=1}^N \quad (2.39)$$

и рассмотрим матрицу

$$M_N(a) = \left[ d_{N,m,n}(a) \right]_{m=0}^{N-1} \Big|_{n=1}^N, \quad (2.40)$$

формально доопределив

$$d_{N,0,n}(a) = \begin{cases} 1, & \text{если } n = 1, \\ 0, & \text{в противном случае.} \end{cases} \quad (2.41)$$

Во введённых выше обозначениях система (2.21)–(2.22) записывается как

$$M_N(a)R_N(a) = V_{N,0}(a), \quad (2.42)$$

где вектор  $V_{N,0}(a)$  определен согласно (2.23) и (2.41). Пусть  $M_{N,n}(a)$  – это матрица, получающаяся из  $M_N(a)$  вычёркиванием верхней строки и  $n$ -го столбца, тогда

$$\varrho_{N,n}(a) = \frac{\det(M_{N,n}(a))}{\det(M_N(a))}. \quad (2.43)$$

Таким образом, числа  $\varrho_{N,n}(a)$  являются отношениями некоторых многочленов от значений дзета-функции Римана и её производных в точке  $s = a$ .

В следующих разделах мы рассмотрим на численных примерах различные способы использования  $\varrho_{N,n}(a)$  для нахождения приближённых значений  $P_n$ -образов нулей дзета-функции.

### 3 Базисная техника

В этом разделе мы рассмотрим на численных примерах, насколько оправдываются наши ожидания (мотивировавшие в Разделе 2 введение функций  $\varrho_{N,n}(a)$ ) на получение приближения к  $P_n$ -образам нуля дзета-функции путём простого вычисления  $\varrho_{N,n}(a)$  для разных  $a$ .

#### 3.1 Наименьший тривиальный нуль

Рассмотрим случай  $a = 0$ ,  $N = 10$ . Таблица 3 даёт значения коэффициентов многочлена (2.16) для  $m = 1$ . Нетрудно понять, почему с ростом  $n$  они приближаются к  $-1$ . Действительно, основной вклад в эти коэффициенты вносит полюс дзета-функции в точке  $s = 1$ ; вычет в этой точке равен 1, так что главным членом там является

$$\frac{1}{s-1} = -1 - s - \dots - s^n - \dots . \quad (3.1)$$

Соответственно, начальный отрезок этого ряда длины  $N$  равен

$$T_{N,1}^{\text{pole}}(0, s) = -1 - s - \dots - s^{N-1} = -\frac{s^N - 1}{s - 1}. \quad (3.2)$$

Аналогично, в общем случае коэффициенты многочлена  $T_{N,m}(a, s)$  примерно равны  $-1/m$ , поскольку вычет функции  $m^{-s}\zeta(s)$  в точке  $s = 1$  равен  $1/m$ .

$l$	$\zeta_{m,l}(a)$
0	-0.5
1	-0.91893853320467274178...
2	-1.00317822795429242560...
3	-1.00078519447704240796...
4	-0.99987929950057116495...
5	-1.00000194089632045603...
6	-1.00000130114601395962...
7	-0.99999983138417361077...
8	-1.00000000576467597994...
9	-1.00000000091101648923...

Таблица 3: Коэффициенты многочлена (2.16) для  $N = 10$ ,  $m = 1$  и  $a = 0$ .

$n$	$d_{N,m,n}(a)$
1	-30677.60982...
2	2116002.90788...
3	-33310973.05240...
4	223028193.57497...
5	-794422644.95782...
6	1660492135.10859...
7	-2109379945.72178...
8	1605393772.95122...
9	-674147314.28794...
10	120261450.58709...

Таблица 4: Коэффициенты ряда Дирихле (2.13) для  $N = 10$ ,  $m = 1$  и  $a = 0$ .

Таблица 4 представляет коэффициенты (2.19) для  $m = 1$ ; мы видим, что они далеки от единичных коэффициентов ряда Дирихле (1.1) для дзета-функции. Для других значений  $m$  коэффициент  $d_{10,m,n}(0)$  примерно в  $m$  раз меньше коэффициента  $d_{10,1,n}(0)$ , что тоже не согласуется со значениями коэффициентов ряда Дирихле для произведения  $m^{-s}\zeta(s)$ .

Ближайшим к  $a$  нулём дзета-функции в нашем примере является тривиальный нуль в точке  $s = -2$ . Он, однако, лежит вне круга сходимости рядов (2.14), имеющего радиус 1 и центр в точке  $s = 0$ . По этой причине значения многочленов (2.16) для  $s = -2$  отнюдь не являются маленькими. Например,

$$T_{10,1}(0, -2) = 341.3333331615943513.... \quad (3.3)$$

$m$	$T_{N,m}(a, s)$	$T_{N,1}(a, s)/m$
1	341.333333161594...	341.333333161594...
2	170.666667895423...	170.666666580797...
3	113.777633916355...	113.777777720531...
4	85.333154445480...	85.333333290398...
5	68.267453908438...	68.266666632318...
6	56.892437080023...	56.88888860265...
7	48.770343826520...	48.761904737370...
8	42.681977235618...	42.66666645199...
9	37.949546841216...	37.925925906843...

Таблица 5: Значения многочленов (2.16) для  $N = 10$ ,  $a = 0$  и  $s = -2$ .

$m$	$D_{N,m}(a, s)$
1	33143.610986860930...
2	16571.805493620530...
3	11047.870329071040...
4	8285.902748796610...
5	6628.722196781075...
6	5523.935137048905...
7	4734.801563418446...
8	4142.951488343937...
9	3682.623720383917...

Таблица 6: Значения конечных рядов Тейлора (2.13) для  $N = 10$ ,  $a = 0$  и  $s = -2$ .

Основной вклад сюда вносит опять-таки полюс дзета функции:

$$T_{10,1}^{\text{pole}}(0, s) - \frac{1}{s-1} \Big|_{s=-2} = -\frac{2^{10}-1}{-2-1} - \frac{1}{-2-1} \quad (3.4)$$

$$= 341.33333333333333... . \quad (3.5)$$

Значения  $T_{10,m}(0, -2)$  для других  $m$ , приведенные в Таблице 5, примерно равны  $T_{10,1}(0, -2)/m$ .

Маленькими не являются и значения конечных рядов Дирихле (2.13) при  $s = -2$  – см. Таблицу 6. Таким образом, аналоги (2.9) не имеют места. Тем не менее мы выполним переход от (2.9) к (2.10) и решим систему (2.21)–(2.22).

Получающиеся значения  $\varrho_{N,n}(a)$  приведены в Таблице 7. Довольно удивительно, что они дают (особенно для малых  $n$ ) достаточно хорошие прибли-

$n$	$\varrho_{N,n}(a)$
1	1.0000000000...
2	3.9980447753...
3	8.9883108374...
4	15.9612664671...
5	24.9039105746...
6	35.8000824643...
7	48.6308323277...
8	63.3748086446...
9	80.0086632351...
10	98.5074400308...

Таблица 7: Решение линейной системы (2.21)–(2.22) для  $N = 10$  и  $a = 0$ .

$n$	$\varrho_{N,n}(a)$	$n$	$\varrho_{N,n}(a)$
1	1.0000000000...	11	120.9992980528...
2	3.9999994195...	12	143.9990046229...
3	8.9999965173...	13	168.9986277534...
4	15.9999883916...	14	195.9981529877...
5	24.9999709802...	15	224.9975647229...
6	35.9999390618...	16	255.9968462111...
7	48.999862561...	17	288.9959795626...
8	63.9998050248...	18	323.9949457478...
9	80.9996866730...	19	360.9937246003...
10	99.9995213505...	20	399.9922948194...

Таблица 8: Решение линейной системы (2.21)–(2.22) для  $N = 20$  и  $a = 0$ .

жения к  $P_n$ -образам тривиального нуля  $s = -2$  (то есть квадратам чётных чисел) несмотря на то, что этот нуль лежит вне круга сходимости ряда Тейлора для дзета-функции в точке  $s = a$  и вне полуплоскости сходимости ряда Дирихле для этой функции.

Таблица 8 демонстрирует, что при том же значении  $a$ , но  $N = 20$  получаются гораздо более хорошие приближения.

В Таблице 9 приведены данные также для  $N = 20$ , но при  $a = 2$ . Это интересно по двум причинам. С одной стороны, это значение  $a$  лежит в полу-плоскости сходимости ряда Дирихле (1.1) для дзета-функции, так что требуемые в (2.18) её производные могут быть вычислены посредством почленного дифференцированием этого ряда. С другой стороны, полюс дзета-функции

$n$	$\varrho_{N,n}(a)$	$n$	$\varrho_{N,n}(a)$
1	1.0000000000...	11	120.8003026775...
2	3.9998340388...	12	143.7170975094...
3	8.9990045046...	13	168.6103921896...
4	15.9966828144...	14	195.4761862068...
5	24.9917105987...	15	224.3101846074...
6	35.9826013555...	16	255.1078035460...
7	48.9675425203...	17	287.8641761213...
8	63.9443980289...	18	322.5741584759...
9	80.9107112782...	19	359.2323361376...
10	99.8637085222...	20	397.8330305783...

Таблица 9: Решение линейной системы (2.21)–(2.22) для  $N = 20$  и  $a = 2$ .

«экранирует» ближайший нуль  $s = -2$ , то есть лежит между ним и точкой  $s = a$ . Несмотря на это «препятствие», значения  $\varrho_{20,n}(2)$  неплохо приближают  $P_n$ -образы первого тривиального нуля.

### 3.2 Первый нетривиальный нуль

Рассмотрим случай  $a = 0.4 + 14i$ . В Таблице 10 приведены коэффициенты рядов Дирихле (2.13) для этого значения  $a$ ,  $N = 5$  и  $m = 1, 2, 3, 4$ . При  $m = 1$  начальные коэффициенты близки к 1 как в ряде Дирихле для дзета-функции, но при  $m = 2, 3, 4$  коэффициенты  $d_{N,m,a}$  совсем не похожи на соответствующие коэффициенты рядов Дирихле для  $t^{-s}\zeta(s)$ . Тем не менее, для всех  $m$  имеет место желательное для нас свойство (2.9) – см. Таблицу 11. Соответственно, функции  $\varrho_{N,n}(a)$  дают значения  $P_n$ -образов первого нуля дзета-функции с 7 правильными десятичными цифрами – см. Таблицу 12. Для получения такой точности были использованы приближения конечными рядами Дирихле всего из 5 членов.

С увеличением длины используемых конечных рядов Дирихле точность возрастает: если  $a = 0.4 + 14i$ , то

$$\max_{n \leq 10} \left| \frac{\varrho_{10,n}(a)}{P_n(\rho_1)} - 1 \right| = 3.9496... \times 10^{-16}, \quad (3.6)$$

$$\max_{n \leq 20} \left| \frac{\varrho_{20,n}(a)}{P_n(\rho_1)} - 1 \right| = 1.1294... \times 10^{-32}. \quad (3.7)$$

$n$	$d_{N,1,n}(a)$	$n$	$d_{N,2,n}(a)$
1	1.000... - 0.001...i	1	-0.010... + 0.008...i
2	1.024... - 0.018...i	2	0.756... + 0.132...i
3	0.933... + 0.178...i	3	0.442... - 1.245...i
4	0.470... + 0.124...i	4	3.011... - 1.265...i
5	0.111... - 0.007...i	5	0.688... - 1.526...i

$n$	$d_{N,3,n}(a)$	$n$	$d_{N,4,n}(a)$
1	-0.014... + 0.101...i	1	-0.300... - 0.115...i
2	-0.659... + 1.798...i	2	-4.778... - 3.245...i
3	-1.835... - 8.129...i	3	24.735... - 1.558...i
4	6.084... - 13.039...i	4	29.239... + 26.787...i
5	1.784... - 8.470...i	5	16.550... + 12.756...i

Таблица 10: Коэффициенты рядов Дирихле (2.13) для  $N = 5$ ,  $a = 0.4 + 14i$  и  $m = 1, 2, 3, 4$ .

$m$	$D_{N,m}(a, s)$
1	$-2.81536066017 \dots \cdot 10^{-9} - 1.38530983893 \dots \cdot 10^{-9}i$
2	$2.99004828775 \dots \cdot 10^{-8} + 3.33913546447 \dots \cdot 10^{-8}i$
3	$3.62797499282 \dots \cdot 10^{-7} + 2.69603018650 \dots \cdot 10^{-8}i$
4	$-3.37565798799 \dots \cdot 10^{-7} + 1.20037371025 \dots \cdot 10^{-6}i$

Таблица 11: Значения конечных рядов (2.13) для  $N = 5$ ,  $a = 0.4 + 14i$  и  $s = \rho_1$ .

$n$	$\varrho_{N,n}(a)$	$\left  \frac{\varrho_{N,n}(a)}{P_n(\rho_1)} - 1 \right $
2	$-0.658570722632 \dots + 0.257458025275 \dots i$	$4.8927 \dots \cdot 10^{-8}$
3	$-0.568086335195 \dots - 0.103010905955 \dots i$	$4.6606 \dots \cdot 10^{-8}$
4	$0.367430765659 \dots - 0.339108615925 \dots i$	$5.8663 \dots \cdot 10^{-8}$
5	$-0.324829272639 \dots + 0.307385716024 \dots i$	$9.3121 \dots \cdot 10^{-8}$

Таблица 12: Решение линейной системы (2.21)–(2.22) и его относительная точность для  $N = 5$  и  $a = 0.4 + 14i$ .

Аналогично для  $a$  вблизи другого нетривиального нуля мы имеем: если

$a = 0.4 + 21i$ , то

$$\max_{n \leq 10} \left| \frac{\varrho_{10,n}(a)}{P_n(\rho_2)} - 1 \right| = 2.9537... \times 10^{-16}, \quad (3.8)$$

$$\max_{n \leq 20} \left| \frac{\varrho_{20,n}(a)}{P_n(\rho_2)} - 1 \right| = 2.9841... \times 10^{-32}. \quad (3.9)$$

## 4 Переходный процесс

В этом разделе мы рассмотрим на примерах, какие имеются зависимости между величиной  $\varrho_{N,n}(a)$  для разных значений  $n$  и  $a$ , и что это даёт для вычисления нетривиальных нулей дзета-функции.

Мы будем использовать  $\alpha$  для обозначения вещественной части  $a$ , а  $\tau$  – для обозначения мнимой:

$$a = \alpha + i\tau. \quad (4.1)$$

Обычно значение  $\alpha$  будет фиксироваться, а  $\tau$  будет изменяться в некоторых пределах. Для описания возникающих феноменов мы будем использовать «физический» язык, называя  $\tau$  временем. Когда  $\tau$  меняется в некотором интервале  $[\tau_{\min}, \tau_{\max}]$ ,  $\varrho_{N,n}(\alpha + i\tau)$  описывает некоторую траекторию на плоскости  $S_n$ , соединяющую точки  $\varrho_{N,n}(\alpha + i\tau_{\min})$  и  $\varrho_{N,n}(\alpha + i\tau_{\max})$ .

### 4.1 Почти ступенчатые функции

Зафиксируем значение  $\alpha = 0.4$ . В предыдущем разделе мы видели, что в момент времени  $\tau = 14$  значения  $\varrho_{N,n}(\alpha + i\tau)$  хорошо приближают  $P_n$ -образы первого нетривиального нуля  $\rho_1$ , а в момент  $\tau = 21$  – второго нетривиального  $\rho_2$  (для  $N = 10$  или  $N = 20$ ). Однако эти функции непрерывно зависят от  $\tau$  и не могут «прыгнуть» от образов одного нуля к образам другого. Это означает, что в какие-то промежуточные моменты значения  $\varrho_{N,n}(\alpha + i\tau)$  не будут соответствовать никакому нулю дзета-функции – см. Рисунки 3–4.

Рисунки 5–6 показывают графики  $\operatorname{Re}(\varrho_{N,2}(\alpha + i\tau))$  и  $\operatorname{Im}(\varrho_{N,2}(\alpha + i\tau))$  для  $\tau$  вплоть до  $\gamma_9$ . Они выглядят примерно как графики ступенчатых функций, причём «ступеньки» соответствуют нулям дзета-функции: если  $\tau$  достаточно близко к  $\gamma_k$  для некоторого  $k$ , то  $\varrho_{N,n}(\alpha + i\tau) \approx P_n(\rho_k)$ ; в противном случае  $\varrho_{N,n}(\alpha + i\tau)$  имеет какое-то «постороннее» значение.

Для описания этого и сопутствующих явлений мы будем использовать следующую терминологию: в первом случае значение  $\tau$  будет называться *стационарным*, во втором – *переходным*. Это сугубо неформальные термины, отнесение конкретного  $\tau$  к первому или второму типу зависит от  $N$  и  $\alpha$ .

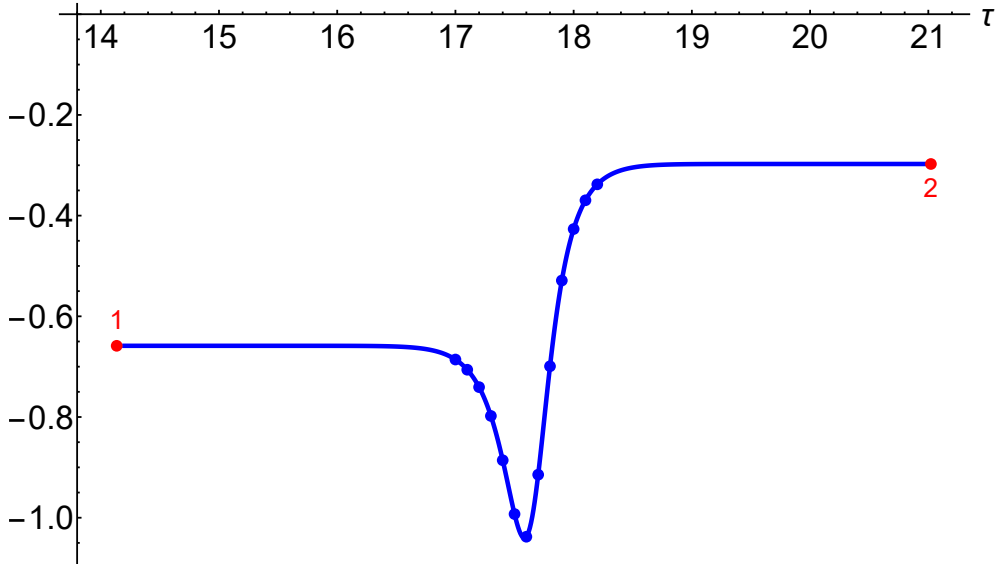


Рис. 3: График  $\operatorname{Re}(\varrho_{N,n}(\alpha + i\tau))$  для  $N = 10$ ,  $n = 2$ ,  $\alpha = 0.4$  и  $\tau$  от  $\gamma_1$  до  $\gamma_2$ . Синие точки соответствуют значениям  $\tau$  от 17 до 18.2 с шагом 0.1. Красная точка с номером  $k$  имеет координаты  $\langle \gamma_k, \operatorname{Re}(P_n(\rho_k)) \rangle$ ,  $k = 1, 2$ .

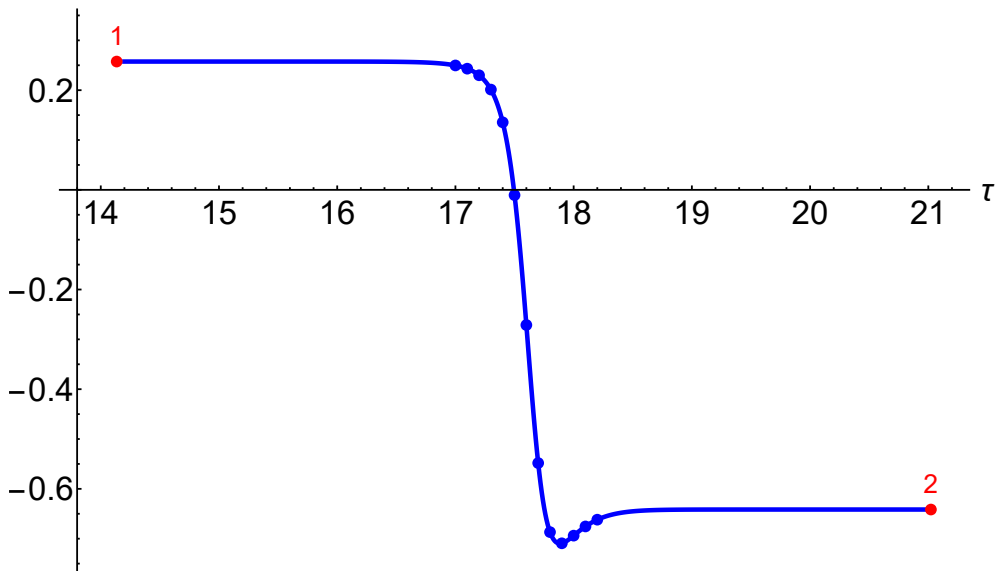


Рис. 4: График  $\operatorname{Im}(\varrho_{N,n}(\alpha + i\tau))$  для  $N = 10$ ,  $n = 2$ ,  $\alpha = 0.4$  и  $\tau$  от  $\gamma_1$  до  $\gamma_2$ . Синие точки соответствуют значениям  $\tau$  от 17 до 18.2 с шагом 0.1. Красная точка с номером  $k$  имеет координаты  $\langle \gamma_k, \operatorname{Im}(P_n(\rho_k)) \rangle$ ,  $k = 1, 2$ .

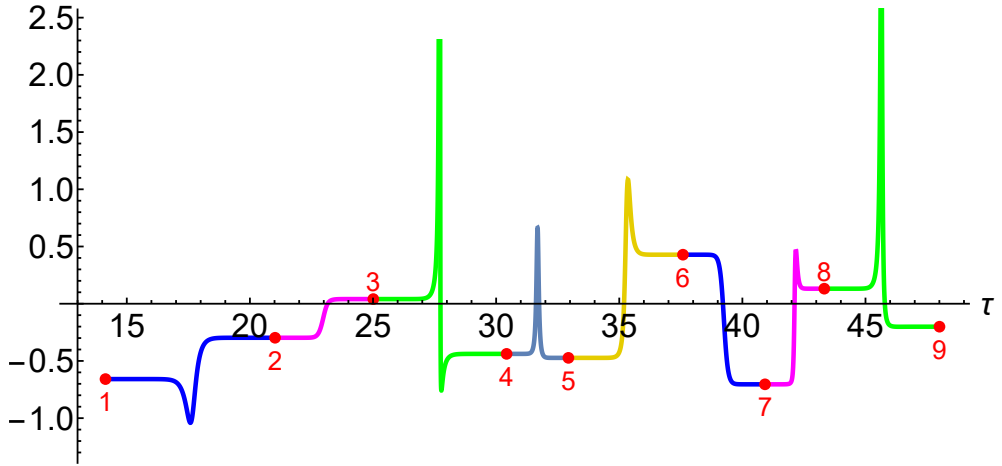


Рис. 5: График  $\text{Re}(\varrho_{N,n}(\alpha + i\tau))$  для  $N = 10$ ,  $n = 2$ ,  $\alpha = 0.4$  и  $\tau$  от  $\gamma_1$  до  $\gamma_9$ . Красная точка с номером  $k$  имеет координаты  $\langle \gamma_k, \text{Re}(P_n(\rho_k)) \rangle$ ,  $k = 1, \dots, 9$ .

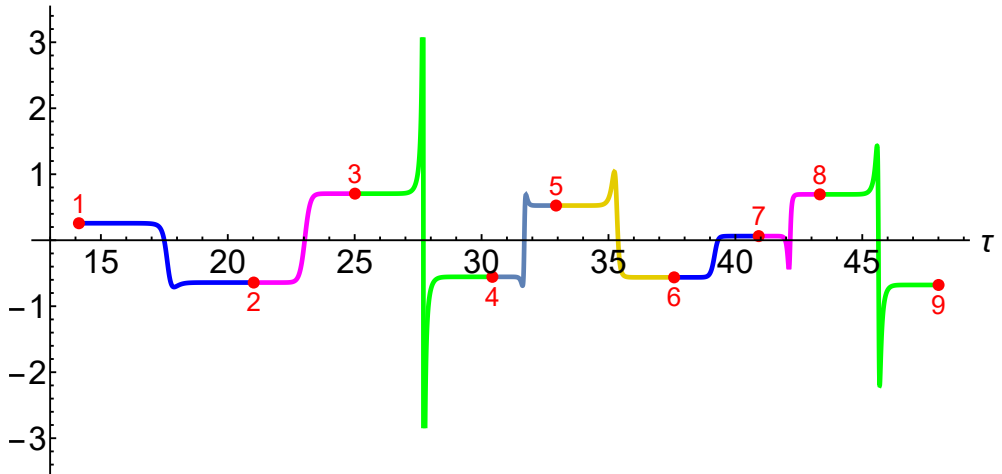


Рис. 6: График  $\text{Im}(\varrho_{N,n}(\alpha + i\tau))$  для  $N = 10$ ,  $n = 2$ ,  $\alpha = 0.4$  и  $\tau$  от  $\gamma_1$  до  $\gamma_9$ . Красная точка с номером  $k$  имеет координаты  $\langle \gamma_k, \text{Im}(P_n(\rho_k)) \rangle$ ,  $k = 1, \dots, 9$ .

## 4.2 Дуги

Если судить по Рис. 5–6, переход от одного образа  $P_n(\rho_k)$  к следующему образу  $P_n(\rho_{k+1})$  происходит каким-то нерегулярным образом. На самом деле

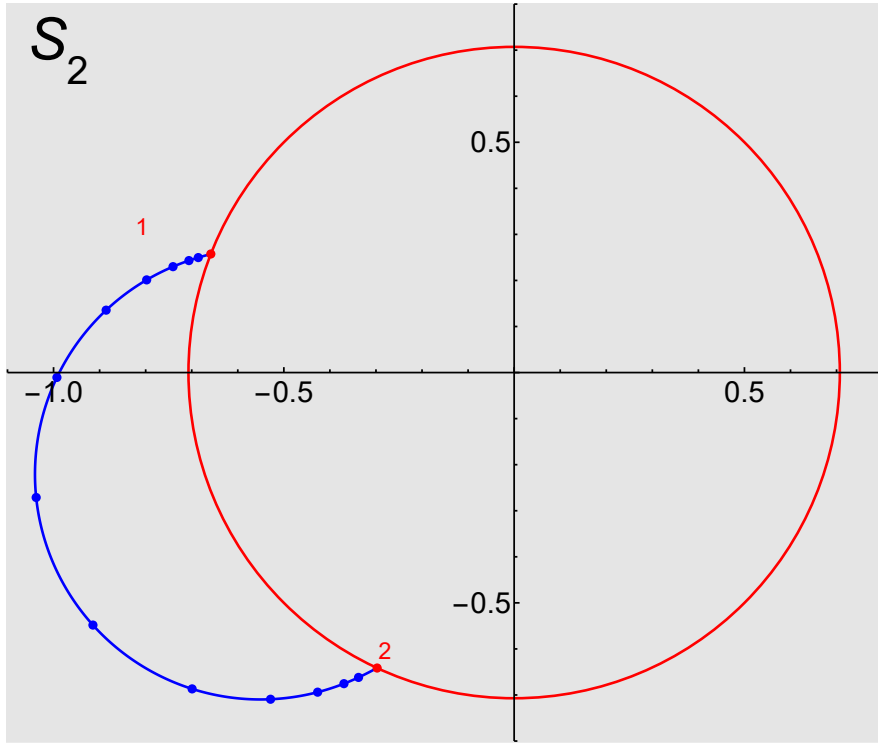


Рис. 7: Критическая окружность ( $|s| = n^{-1/2}$ , красн.) и значения  $\varrho_{N,n}(\alpha + i\tau)$  для  $n = 2$ ,  $N = 10$ ,  $\alpha = 0.4$  и  $\tau$  от  $\gamma_1$  до  $\gamma_2$  (син.); синие точки соответствуют синим точкам на Рис. 3–4, красные точки соответствуют красным точкам с теми же номерами на Рис. 3–6.

здесь имеется очень нетривиальная структура, но чтобы её увидеть, надо рассматривать не графики  $\operatorname{Re}(\varrho_{N,n}(\alpha + i\tau))$  и  $\operatorname{Im}(\varrho_{N,n}(\alpha + i\tau))$  по отдельности, а те кривые, которые функции  $\varrho_{N,n}(\alpha + i\tau)$  «рисуют» на плоскостях  $S_n$ .

Рисунок 7 показывает траекторию, по которой  $\varrho_{10,2}(0.4 + i\tau)$  перемещается от  $P_2(\rho_1)$  к  $P_2(\rho_2)$ , когда  $\tau$  меняется от  $\gamma_1$  до  $\gamma_2$ . Эта траектория близка к дуге некоторой окружности. В частности, 13 синих точек лежат внутри узкого кольца: для  $m = 0, \dots, 12$

$$0.4889 < |\varrho_{10}(\alpha + i(17 + m/10)) + 0.550789 + 0.220836i| < 0.4898. \quad (4.2)$$

Когда  $\tau$  меняется дальше от  $\gamma_2$  до  $\gamma_3$ , то  $\varrho_{10,2}(0.4 + i\tau)$  перемещается от  $P_2(\rho_2)$  к  $P_2(\rho_3)$  по траектории, которая вновь близка к дуге некоторой окружности, но эта окружность имеет совсем другие центр и радиус – см. Рис. 8.

Рис. 9 показывает траекторию  $\varrho_{10,2}(0.4 + i\tau)$  для  $\gamma_1 \leq \tau \leq \gamma_9$ ; мы видим, что на каждом интервале вида  $\gamma_k \leq \tau \leq \gamma_{k+1}$  траектория близка к дугам окружностей с разными радиусами и центрами.

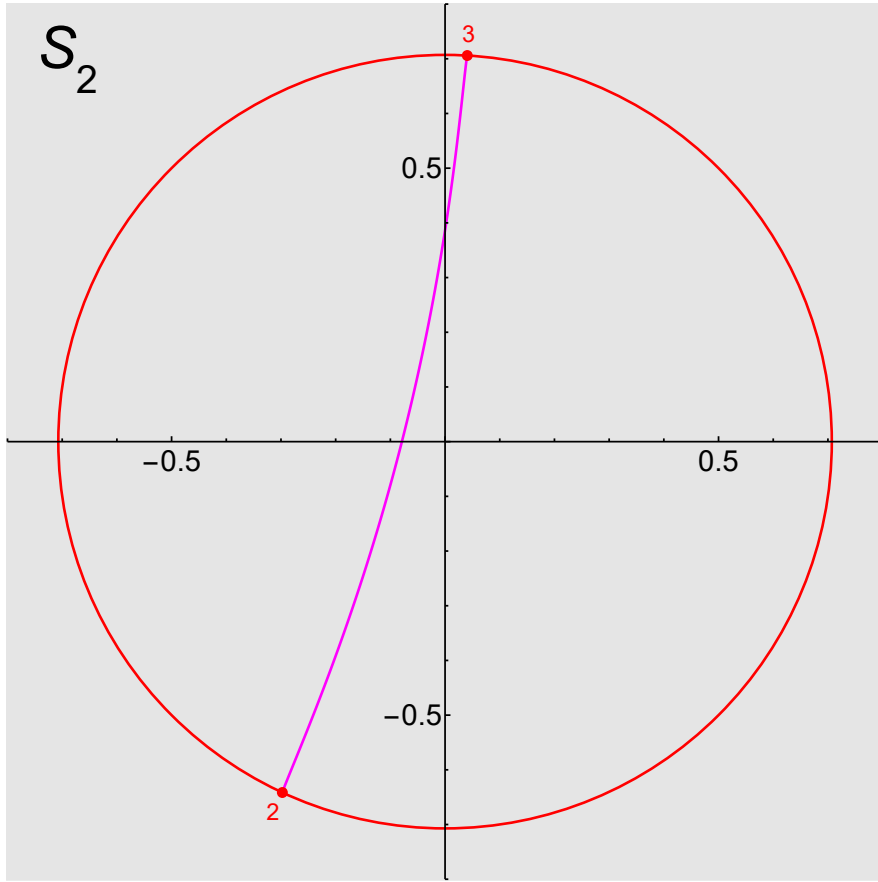


Рис. 8: Критическая окружность ( $|s| = n^{-1/2}$ , красн.) и значения  $\varrho_{N,n}(\alpha + i\tau)$  для  $n = 2$ ,  $N = 10$ ,  $\alpha = 0.4$  и  $\tau$  от  $\gamma_2$  до  $\gamma_3$  (маджента); красные точки соответствуют красным точкам с теми же номерами на Рис. 3–6.

Приведённые выше примеры траекторий были ограничены рассмотрением  $P_n$ -образов для случая  $n = 2$ , но и для больших  $n$  траектории имеют аналогичный характер (см. Рис. 10).

**Отступление.** Круговые структуры возникают при изучении дзета-функции самым разным образом. В работах автора они впервые встретились при рассмотрении собственных чисел тёплицевых матриц [1, 2, 3], но там не было взаимно-однозначного соответствия с нулями дзета-функции. Такое соответствие возникло в [4, 5, 7] при рассмотрении одного способа вычисления значений дзета-функции – подобно явлению, рассмотренному выше, при переходе значения некоторого параметра через величину мнимой части нетривиального нуля радиусы и центры окружностей резко менялись. Ещё один вид круговых структур, связанных с дзета-функцией, рассматривается в [8].

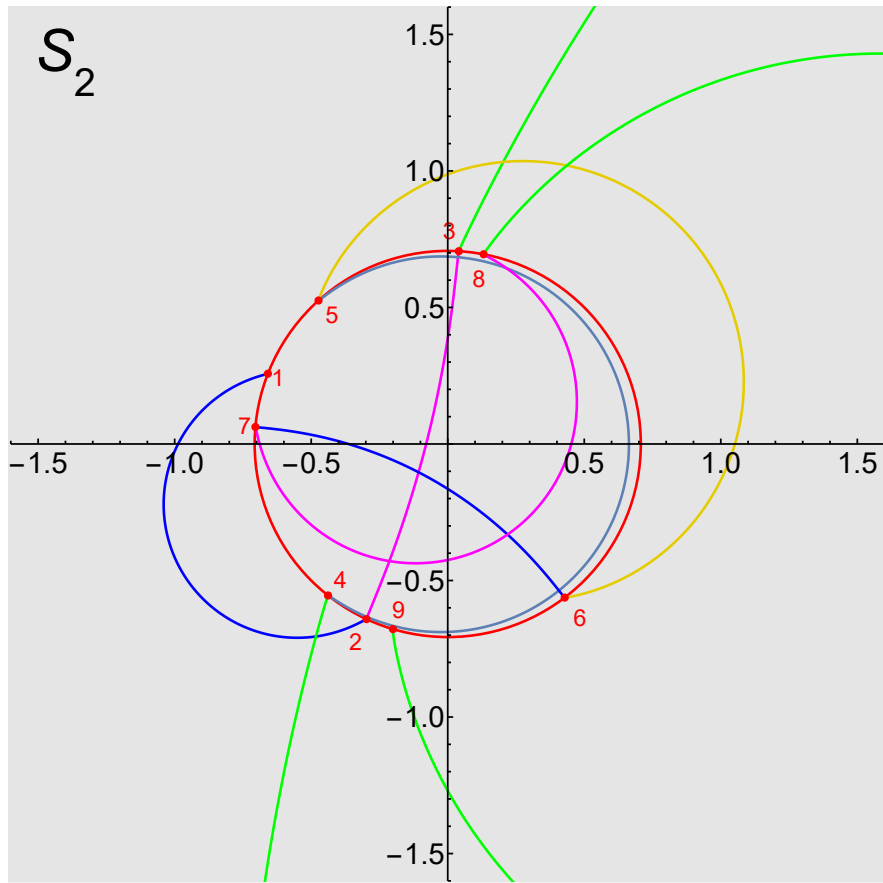


Рис. 9: Критическая окружность ( $|s| = n^{-1/2}$ , красн.) и значения  $\varrho_{N,n}(\alpha + i\tau)$  для  $n = 2$ ,  $N = 10$ ,  $\alpha = 0.4$  и  $\tau$  от  $\gamma_1$  до  $\gamma_9$  (цвета соответствуют цветам на Рис. 3–4), красные точки соответствуют красным точкам с теми же номерами на Рис. 3–6.

### 4.3 Закон приблизительного подобия

Сейчас мы рассмотрим на численных примерах, как связаны траектории на разных  $S_n$ -плоскостях для  $\tau$  в пределах одного интервала вида

$$\gamma_k < \tau < \gamma_{k+1}. \quad (4.3)$$

Рисунок 10 показывает такие траектории для  $N = 15$ ,  $\alpha = 0.4$ ,  $n = 2, 3, 4, 5$  и  $\tau$  из сегмента (4.3) с  $k = 1$ . Все четыре траектории близки к дугам окружностей, но эти окружности имеют разные центры и разные радиусы. Однако угловые размеры всех этих траекторий примерно одинаковы.

Более того, движение по всем четырём траекториям происходит примерно

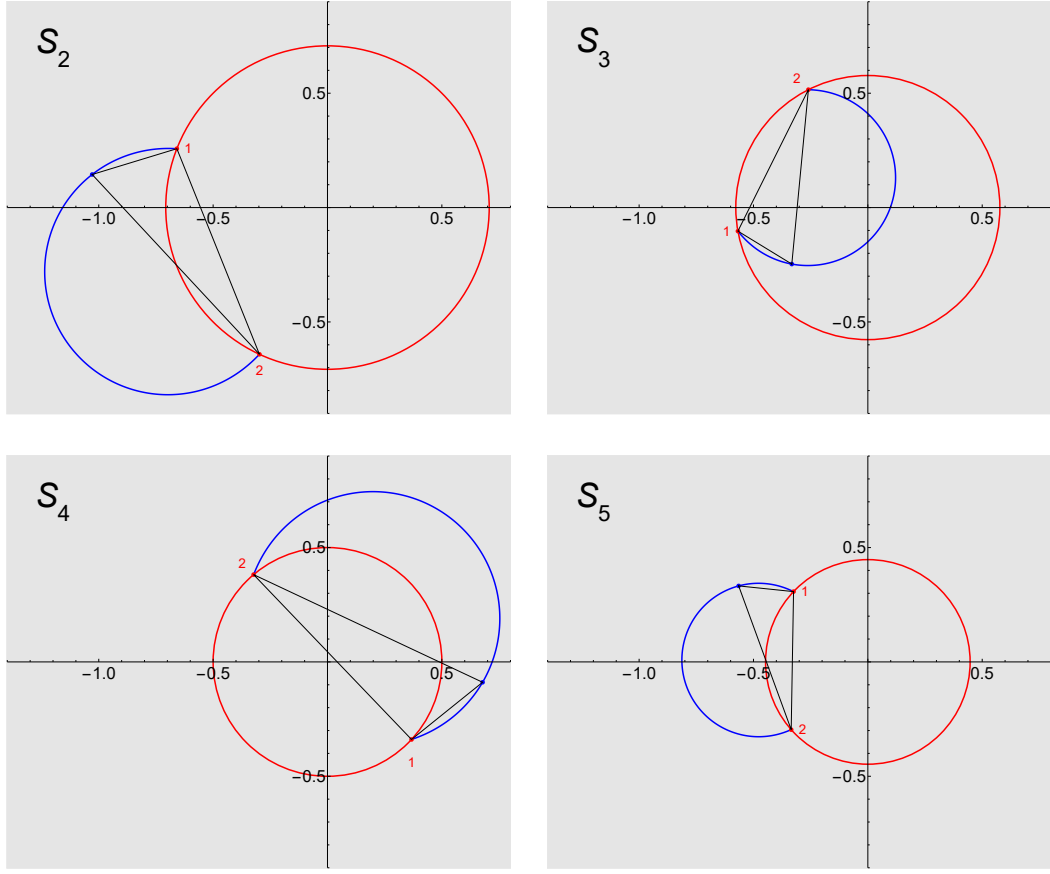


Рис. 10: Критические окружности ( $|s| = n^{-1/2}$ , красн.) и значения  $\varrho_N(\alpha + i\tau)$  для  $N = 15$ ,  $\alpha = 0.4$ ,  $\tau$  от  $\gamma_1$  до  $\gamma_2$  (син.) и  $n = 2, 3, 4, 5$ ; синие точки соответствуют значениям  $\varrho_{N,n}(\alpha + i\tau)$  при  $\tau = 17.5$ , а красные точки те же, что и на Рис. 2.

с равной угловой скоростью. Это проявляется в том, что для любого фиксированного  $\tau$  из рассматриваемого интервала треугольники с вершинами в точках  $\varrho_{N,n}(\alpha + i\tau)$ ,  $P_n(\rho_k)$  и  $P_n(\rho_{k+1})$  для разных  $n$  примерно подобны друг другу.

Аналитически, этот закон приближительного подобия можно выразить, например, следующим образом. Сравнивая положение сторон таких треугольников, соединяющих  $P_n$ -образы  $k$ -го и  $(k+1)$ -го нулей для  $n = n_1$  и  $n = n_2$ , мы можем определить коэффициент подобия

$$r(n_1, n_2, k) = \frac{P_{n_2}(\rho_k) - P_{n_2}(\rho_{k+1})}{P_{n_1}(\rho_k) - P_{n_1}(\rho_{k+1})}. \quad (4.4)$$

Однаковые элементы рассматриваемых треугольников на плоскостях  $S_{n_1}$  и

$\tau$	$\left  \frac{2\varrho_{N,n_2}(\alpha+i\tau) - P_{n_2}(\rho_k) - P_{n_2}(\rho_{k+1})}{2\varrho_{N,n_1}(\alpha+i\tau) - P_{n_1}(\rho_k) - P_{n_1}(\rho_{k+1})} \right  / r(n_1, n_2, k) - 1 \right $			
	$N = 15$	$N = 20$	$N = 30$	$N = 50$
16.5	$2.3 \dots 10^{-8}$	$3.1 \dots 10^{-11}$	$6.7 \dots 10^{-17}$	$4.0 \dots 10^{-28}$
16.6	$4.9 \dots 10^{-8}$	$8.8 \dots 10^{-11}$	$3.2 \dots 10^{-16}$	$5.6 \dots 10^{-27}$
16.6	$1.0 \dots 10^{-7}$	$2.4 \dots 10^{-10}$	$1.4 \dots 10^{-15}$	$7.3 \dots 10^{-26}$
16.8	$2.1 \dots 10^{-7}$	$6.3 \dots 10^{-10}$	$6.5 \dots 10^{-15}$	$8.9 \dots 10^{-25}$
16.8	$4.2 \dots 10^{-7}$	$1.6 \dots 10^{-9}$	$2.8 \dots 10^{-14}$	$1.0 \dots 10^{-23}$
17.0	$8.3 \dots 10^{-7}$	$4.1 \dots 10^{-9}$	$1.1 \dots 10^{-13}$	$1.0 \dots 10^{-22}$
17.1	$1.6 \dots 10^{-6}$	$1.0 \dots 10^{-8}$	$4.5 \dots 10^{-13}$	$1.1 \dots 10^{-21}$
17.1	$3.0 \dots 10^{-6}$	$2.4 \dots 10^{-8}$	$1.7 \dots 10^{-12}$	$1.0 \dots 10^{-20}$
17.3	$5.7 \dots 10^{-6}$	$5.7 \dots 10^{-8}$	$6.6 \dots 10^{-12}$	$1.0 \dots 10^{-19}$
17.4	$1.0 \dots 10^{-5}$	$1.2 \dots 10^{-7}$	$2.5 \dots 10^{-11}$	$9.0 \dots 10^{-19}$
17.5	$1.6 \dots 10^{-5}$	$2.4 \dots 10^{-7}$	$1.0 \dots 10^{-10}$	$7.8 \dots 10^{-18}$
17.6	$2.3 \dots 10^{-5}$	$3.8 \dots 10^{-7}$	$1.4 \dots 10^{-9}$	$4.0 \dots 10^{-17}$
17.7	$2.6 \dots 10^{-5}$	$4.2 \dots 10^{-7}$	$2.2 \dots 10^{-10}$	$2.2 \dots 10^{-17}$
17.8	$2.3 \dots 10^{-5}$	$3.6 \dots 10^{-7}$	$1.1 \dots 10^{-10}$	$9.5 \dots 10^{-18}$
17.9	$1.9 \dots 10^{-5}$	$2.7 \dots 10^{-7}$	$6.5 \dots 10^{-11}$	$3.9 \dots 10^{-18}$
18.0	$1.4 \dots 10^{-5}$	$1.9 \dots 10^{-7}$	$3.7 \dots 10^{-11}$	$1.5 \dots 10^{-18}$
18.1	$1.0 \dots 10^{-5}$	$1.3 \dots 10^{-7}$	$2.0 \dots 10^{-11}$	$5.9 \dots 10^{-19}$
18.2	$8.0 \dots 10^{-6}$	$8.6 \dots 10^{-8}$	$1.1 \dots 10^{-11}$	$2.1 \dots 10^{-19}$
18.3	$5.7 \dots 10^{-6}$	$5.6 \dots 10^{-8}$	$5.8 \dots 10^{-12}$	$7.3 \dots 10^{-20}$
18.3	$4.0 \dots 10^{-6}$	$3.5 \dots 10^{-8}$	$2.9 \dots 10^{-12}$	$2.3 \dots 10^{-20}$
18.5	$2.8 \dots 10^{-6}$	$2.1 \dots 10^{-8}$	$1.4 \dots 10^{-12}$	$7.3 \dots 10^{-21}$

Таблица 13: Выполнение закона приблизительного подобия (4.5) для  $n_1 = 2$ ,  $n_2 = 3$ ,  $\alpha = 0.4$ ,  $k = 1$  и разных значений  $N$  и  $\tau$ .

$S_{n_2}$  должны находиться примерно в этом отношении. Например, сравнивая медианы, соединяющие  $\varrho_{N,n}(\alpha + i\tau)$  с  $(P_n(\rho_k) + P_n(\rho_{k+1}))/2$ , мы получаем соотношение

$$\frac{2\varrho_{N,n_2}(\alpha + i\tau) - P_{n_2}(\rho_k) - P_{n_2}(\rho_{k+1})}{2\varrho_{N,n_1}(\alpha + i\tau) - P_{n_1}(\rho_k) - P_{n_1}(\rho_{k+1})} \approx r(n_1, n_2, k). \quad (4.5)$$

Если  $\tau$  стационарно, то  $\varrho_{N,n}(\alpha + i\tau)$  близко к  $P_n(\rho_k)$  или же к  $P_n(\rho_{k+1})$ , и уже по этой причине приблизительное равенство (4.5) имеет место. Закон подобия говорит, что оно выполняется и для переходных значений  $\tau$ . Таблица 13 показывает примеры того, с какой точностью это происходит.

## 4.4 Вычисление нулей на основе закона подобия

Закон подобия даёт возможность вычислять образы нетривиальных нулей дзета-функции, используя для этого значения  $\varrho_{N,n}(\alpha + i\tau)$  для переходного  $\tau$ .

### 4.4.1 Первый способ

Считая, что  $n^2 \leq N$ , положим в (4.5)  $n_1 = n$ ,  $n_2 = n^2$ . Имеют место очевидные равенства,

$$P_{n_2}(\rho_1) = P_{n^2}(\rho_1) = P_n^2(\rho_1), \quad (4.6)$$

$$P_{n_2}(\rho_2) = P_{n^2}(\rho_2) = P_n^2(\rho_2), \quad (4.7)$$

так что правая часть в (4.5) упрощается:

$$r(n_1, n_2, k) = \frac{P_{n_2}(\rho_k) - P_{n_2}(\rho_{k+1})}{P_{n_1}(\rho_k) - P_{n_1}(\rho_{k+1})} \quad (4.8)$$

$$= \frac{P_{n^2}(\rho_k) - P_{n^2}(\rho_{k+1})}{P_n(\rho_k) - P_n(\rho_{k+1})} \quad (4.9)$$

$$= \frac{P_n^2(\rho_k) - P_n^2(\rho_{k+1})}{P_n(\rho_k) - P_n(\rho_{k+1})} \quad (4.10)$$

$$= P_n(\rho_k) + P_n(\rho_{k+1}). \quad (4.11)$$

Используя (4.6)–(4.7) для преобразования левой части в (4.5), получаем, что

$$\frac{2\varrho_{N,n^2}(\alpha + i\tau) - P_n^2(\rho_k) - P_n^2(\rho_{k+1})}{2\varrho_{N,n}(\alpha + i\tau) - P_n(\rho_k) - P_n(\rho_{k+1})} \approx P_n(\rho_k) + P_n(\rho_{k+1}). \quad (4.12)$$

Решая это уравнение относительно  $P_n(\rho_{k+1})$ , мы получаем, что

$$P_n(\rho_{k+1}) \approx \frac{\varrho_{N,n^2}(\alpha + i\tau) - \varrho_{N,n}(\alpha + i\tau)P_n(\rho_k)}{\varrho_{N,n}(\alpha + i\tau) - P_n(\rho_k)}. \quad (4.13)$$

Если  $\tau$  близко к  $\gamma_{k+1}$ , то

$$\varrho_{N,n}(\alpha + i\tau) \approx P_n(\rho_{k+1}), \quad (4.14)$$

$$\varrho_{N,n^2}(\alpha + i\tau) \approx P_n^2(\rho_{k+1}), \quad (4.15)$$

и (4.13) следует уже отсюда. Если же  $\tau$  близко к  $\tau$  близко к  $\gamma_k$ , то

$$\varrho_{N,n}(\alpha + i\tau) \approx P_n(\rho_k), \quad (4.16)$$

$$\varrho_{N,n^2}(\alpha + i\tau) \approx P_n^2(\rho_k), \quad (4.17)$$

$\tau$	$\left  \frac{\varrho_{N,n^2}(\alpha+i\tau) - \varrho_{N,n}(\alpha+i\tau)P_n(\rho_k)}{\varrho_{N,n}(\alpha+i\tau) - P_n(\rho_k)} \right  /  P_n(\rho_{k+1}) - 1 $			
	$N = 15$	$N = 20$	$N = 30$	$N = 50$
14.0	$4.0 \dots 10^{-3}$	$4.8 \dots 10^{-4}$	$4.2 \dots 10^{-6}$	$4.1 \dots 10^{-10}$
15.0	$1.9 \dots 10^{-3}$	$1.3 \dots 10^{-4}$	$6.8 \dots 10^{-7}$	$2.1 \dots 10^{-11}$
16.0	$5.8 \dots 10^{-4}$	$2.7 \dots 10^{-5}$	$6.4 \dots 10^{-8}$	$4.3 \dots 10^{-13}$
16.5	$2.7 \dots 10^{-4}$	$9.9 \dots 10^{-6}$	$1.4 \dots 10^{-8}$	$3.9 \dots 10^{-14}$
16.6	$2.2 \dots 10^{-4}$	$7.9 \dots 10^{-6}$	$1.0 \dots 10^{-8}$	$2.2 \dots 10^{-14}$
16.7	$1.9 \dots 10^{-4}$	$6.3 \dots 10^{-6}$	$7.6 \dots 10^{-9}$	$1.3 \dots 10^{-14}$
16.8	$1.6 \dots 10^{-4}$	$5.0 \dots 10^{-6}$	$5.3 \dots 10^{-9}$	$7.4 \dots 10^{-15}$
16.9	$1.3 \dots 10^{-4}$	$3.9 \dots 10^{-6}$	$3.7 \dots 10^{-9}$	$4.1 \dots 10^{-15}$
17.0	$1.1 \dots 10^{-4}$	$3.0 \dots 10^{-6}$	$2.5 \dots 10^{-9}$	$2.2 \dots 10^{-15}$
17.1	$9.0 \dots 10^{-5}$	$2.3 \dots 10^{-6}$	$1.7 \dots 10^{-9}$	$1.1 \dots 10^{-15}$
17.2	$7.3 \dots 10^{-5}$	$1.7 \dots 10^{-6}$	$1.1 \dots 10^{-9}$	$6.1 \dots 10^{-16}$
17.3	$5.9 \dots 10^{-5}$	$1.3 \dots 10^{-6}$	$7.7 \dots 10^{-10}$	$3.0 \dots 10^{-16}$
17.4	$4.7 \dots 10^{-5}$	$1.0 \dots 10^{-6}$	$5.0 \dots 10^{-10}$	$1.5 \dots 10^{-16}$
17.5	$3.7 \dots 10^{-5}$	$7.3 \dots 10^{-7}$	$3.2 \dots 10^{-10}$	$7.1 \dots 10^{-17}$
17.6	$2.9 \dots 10^{-5}$	$5.3 \dots 10^{-7}$	$2.0 \dots 10^{-10}$	$3.3 \dots 10^{-17}$
17.7	$2.2 \dots 10^{-5}$	$3.8 \dots 10^{-7}$	$1.2 \dots 10^{-10}$	$1.4 \dots 10^{-17}$
17.8	$1.7 \dots 10^{-5}$	$2.7 \dots 10^{-7}$	$7.3 \dots 10^{-11}$	$6.3 \dots 10^{-18}$
17.9	$1.3 \dots 10^{-5}$	$1.9 \dots 10^{-7}$	$4.3 \dots 10^{-11}$	$2.6 \dots 10^{-18}$
18.0	$9.9 \dots 10^{-6}$	$1.3 \dots 10^{-7}$	$2.4 \dots 10^{-11}$	$1.0 \dots 10^{-18}$
18.1	$7.3 \dots 10^{-6}$	$8.7 \dots 10^{-8}$	$1.3 \dots 10^{-11}$	$3.9 \dots 10^{-19}$
18.2	$5.3 \dots 10^{-6}$	$5.7 \dots 10^{-8}$	$7.4 \dots 10^{-12}$	$1.4 \dots 10^{-19}$
18.3	$3.8 \dots 10^{-6}$	$3.7 \dots 10^{-8}$	$3.8 \dots 10^{-12}$	$4.9 \dots 10^{-20}$
18.4	$2.7 \dots 10^{-6}$	$2.3 \dots 10^{-8}$	$1.9 \dots 10^{-12}$	$1.5 \dots 10^{-20}$
18.5	$1.8 \dots 10^{-6}$	$1.4 \dots 10^{-8}$	$9.6 \dots 10^{-13}$	$4.8 \dots 10^{-21}$
19.0	$2.1 \dots 10^{-7}$	$8.2 \dots 10^{-10}$	$1.3 \dots 10^{-14}$	$4.1 \dots 10^{-24}$
20.0	$1.0 \dots 10^{-10}$	$3.5 \dots 10^{-14}$	$4.1 \dots 10^{-21}$	$6.3 \dots 10^{-35}$
21.0	$2.4 \dots 10^{-24}$	$2.5 \dots 10^{-32}$	$2.7 \dots 10^{-48}$	$3.5 \dots 10^{-80}$

Таблица 14: Точность приближения (4.13) для  $n_1 = 2$ ,  $n_2 = 3$ ,  $\alpha = 0.4$ ,  $k = 1$  и разных значений  $N$  и  $\tau$ .

так что числитель и знаменатель в (4.13) – это разности близких величин, и потому их отношение не слишком хорошо приближает  $P_n(\rho_{k+1})$ . Однако если  $\tau$  имеет переходное значение и мы знаем  $P_n(\rho_k)$ , то мы можем вычислить и  $P_n(\rho_{k+1})$  согласно (4.13). Таблица 14 демонстрирует точность таких вычислений.

#### 4.4.2 Второй способ

Недостатком приближения (4.13) является необходимость знать значение  $P_n(\rho_k)$ . Этого можно избежать, если воспользоваться законом подобия дважды.

Для получения дополнительного уравнения положим в (4.5)  $n_1 = n$ ,  $n_2 = n^3$  (мы считаем теперь, что  $n^3 \leq N$ ). В дополнение к (4.6)–(4.7) имеются аналогичные равенства

$$P_{n_2}(\rho_1) = P_{n^3}(\rho_1) = P_n^3(\rho_1), \quad (4.18)$$

$$P_{n_2}(\rho_2) = P_{n^3}(\rho_2) = P_n^3(\rho_2), \quad (4.19)$$

и правая часть в (4.5) упрощается теперь так:

$$r(n_1, n_2, k) = \frac{P_{n_2}(\rho_k) - P_{n_2}(\rho_{k+1})}{P_{n_1}(\rho_k) - P_{n_1}(\rho_{k+1})} \quad (4.20)$$

$$= \frac{P_{n^3}(\rho_k) - P_{n^3}(\rho_{k+1})}{P_n(\rho_k) - P_n(\rho_{k+1})} \quad (4.21)$$

$$= \frac{P_n^3(\rho_k) - P_n^3(\rho_{k+1})}{P_n(\rho_k) - P_n(\rho_{k+1})} \quad (4.22)$$

$$= P_n^2(\rho_k) + P_n(\rho_k)P_n(\rho_{k+1}) + P_n^2(\rho_{k+1}). \quad (4.23)$$

Используя (4.18)–(4.19) для преобразования левой части в (4.5), получаем, что

$$\begin{aligned} \frac{2\varrho_{N,n^3}(\alpha + i\tau) - P_n^3(\rho_k) - P_n^3(\rho_{k+1})}{2\varrho_{N,n}(\alpha + i\tau) - P_n(\rho_k) - P_n(\rho_{k+1})} &\approx \\ &\approx P_n^2(\rho_k) + P_n(\rho_k)P_n(\rho_{k+1}) + P_n^2(\rho_{k+1}). \end{aligned} \quad (4.24)$$

Из (4.12) и (4.24) следует, что

$$P_n(\rho_k) + P_n(\rho_{k+1}) \approx \frac{A_{II,N,n}(\alpha + i\tau)}{A_{I,N,n}(\alpha + i\tau)}, \quad (4.25)$$

$$P_n(\rho_k)P_n(\rho_{k+1}) \approx \frac{A_{III,N,n}(\alpha + i\tau)}{A_{I,N,n}(\alpha + i\tau)}, \quad (4.26)$$

где

$$A_{I,N,n}(a) = \varrho_{N,n}(a)^2 - \varrho_{N,n^2}(a), \quad (4.27)$$

$$A_{II,N,n}(a) = \varrho_{N,n}(a)\varrho_{N,n^2}(a) - \varrho_{N,n^3}(a), \quad (4.28)$$

$$A_{III,N,n}(a) = \varrho_{N,n^2}^2(a) - \varrho_{N,n}(a)\varrho_{N,n^3}(a). \quad (4.29)$$

$\tau$	$ x_1/P_n(\rho_k) - 1 $			
	$N = 15$	$N = 20$	$N = 30$	$N = 50$
17.0	$8.0 \dots 10^{-7}$	$3.9 \dots 10^{-9}$	$1.0 \dots 10^{-13}$	$1.0 \dots 10^{-22}$
17.1	$1.5 \dots 10^{-6}$	$9.7 \dots 10^{-9}$	$4.3 \dots 10^{-13}$	$1.0 \dots 10^{-21}$
17.2	$2.9 \dots 10^{-6}$	$2.3 \dots 10^{-8}$	$1.6 \dots 10^{-12}$	$1.0 \dots 10^{-20}$
17.3	$5.6 \dots 10^{-6}$	$5.6 \dots 10^{-8}$	$6.3 \dots 10^{-12}$	$9.7 \dots 10^{-20}$
17.4	$1.0 \dots 10^{-5}$	$1.3 \dots 10^{-7}$	$2.3 \dots 10^{-11}$	$8.6 \dots 10^{-19}$
17.5	$1.9 \dots 10^{-5}$	$3.0 \dots 10^{-7}$	$8.3 \dots 10^{-11}$	$7.4 \dots 10^{-18}$
17.6	$3.5 \dots 10^{-5}$	$6.8 \dots 10^{-7}$	$2.9 \dots 10^{-10}$	$6.1 \dots 10^{-17}$
17.7	$6.3 \dots 10^{-5}$	$1.5 \dots 10^{-6}$	$1.0 \dots 10^{-9}$	$4.9 \dots 10^{-16}$
17.8	$1.1 \dots 10^{-4}$	$3.4 \dots 10^{-6}$	$3.3 \dots 10^{-9}$	$3.8 \dots 10^{-15}$
17.9	$2.0 \dots 10^{-4}$	$7.4 \dots 10^{-6}$	$1.1 \dots 10^{-8}$	$2.9 \dots 10^{-14}$
18.0	$3.5 \dots 10^{-4}$	$1.6 \dots 10^{-5}$	$3.6 \dots 10^{-8}$	$2.1 \dots 10^{-13}$
18.1	$6.1 \dots 10^{-4}$	$3.4 \dots 10^{-5}$	$1.1 \dots 10^{-7}$	$1.5 \dots 10^{-12}$
18.2	$1.0 \dots 10^{-3}$	$7.3 \dots 10^{-5}$	$3.7 \dots 10^{-7}$	$1.1 \dots 10^{-11}$

Таблица 15: Точность приближения  $P_n(\rho_k)$  одним из корней уравнения (4.30) для  $n = 2$ ,  $\alpha = 0.4$ ,  $k = 1$  и разных значений  $N$  и  $\tau$ .

Таким образом,  $P_n(\rho_k)$  и  $P_n(\rho_{k+1})$  примерно равны корням квадратного уравнения

$$A_{I,N,n}(\alpha + i\tau)x^2 - A_{II,N,n}(\alpha + i\tau)x + A_{III,N,n}(\alpha + i\tau) = 0, \quad (4.30)$$

то есть числом

$$\frac{A_{II,N,n}(\alpha + i\tau) \pm \sqrt{A_{II,N,n}^2(\alpha + i\tau) - 4A_{I,N,n}(\alpha + i\tau)A_{III,N,n}(\alpha + i\tau)}}{2A_{I,N,n}(\alpha + i\tau)}. \quad (4.31)$$

Мы, однако, не можем аналитически указать, какое из двух значений квадратного корня в (4.31) надо брать для получения приближённого значения  $P_n(\rho_k)$ , а какое – для  $P_n(\rho_{k+1})$ .

Таблицы 15–16 демонстрируют точность приближений, получающихся при надлежащем выборе значения квадратного корня в (4.31). В этих таблицах значения  $\tau$  являются переходными; в случае стационарного  $\tau$

$$\varrho_{N,n^m}(\alpha + i\tau) \approx P_n^m(\rho), \quad (4.32)$$

для некоторого  $\rho$ , так что (4.27)–(4.29) – это разности близких величин и потому решения уравнения (4.30) могут давать не очень хорошие приближения к  $P_n(\rho_k)$  и  $P_n(\rho_{k+1})$ .

$\tau$	$ x_2 / P_n(\rho_{k+1}) - 1 $			
	$N = 15$	$N = 20$	$N = 30$	$N = 50$
17.0	$9.4 \dots 10^{-5}$	$2.6 \dots 10^{-6}$	$2.2 \dots 10^{-9}$	$1.9 \dots 10^{-15}$
17.1	$7.7 \dots 10^{-5}$	$2.0 \dots 10^{-6}$	$1.5 \dots 10^{-9}$	$1.0 \dots 10^{-15}$
17.2	$6.2 \dots 10^{-5}$	$1.5 \dots 10^{-6}$	$1.0 \dots 10^{-9}$	$5.2 \dots 10^{-16}$
17.3	$5.0 \dots 10^{-5}$	$1.1 \dots 10^{-6}$	$6.6 \dots 10^{-10}$	$2.6 \dots 10^{-16}$
17.4	$4.0 \dots 10^{-5}$	$8.6 \dots 10^{-7}$	$4.3 \dots 10^{-10}$	$1.2 \dots 10^{-16}$
17.5	$3.2 \dots 10^{-5}$	$6.3 \dots 10^{-7}$	$2.7 \dots 10^{-10}$	$6.1 \dots 10^{-17}$
17.6	$2.5 \dots 10^{-5}$	$4.6 \dots 10^{-7}$	$1.7 \dots 10^{-10}$	$2.8 \dots 10^{-17}$
17.7	$1.9 \dots 10^{-5}$	$3.3 \dots 10^{-7}$	$1.0 \dots 10^{-10}$	$1.2 \dots 10^{-17}$
17.8	$1.5 \dots 10^{-5}$	$2.3 \dots 10^{-7}$	$6.3 \dots 10^{-11}$	$5.4 \dots 10^{-18}$
17.9	$1.1 \dots 10^{-5}$	$1.6 \dots 10^{-7}$	$3.7 \dots 10^{-11}$	$2.2 \dots 10^{-18}$
18.0	$8.5 \dots 10^{-6}$	$1.1 \dots 10^{-7}$	$2.1 \dots 10^{-11}$	$8.9 \dots 10^{-19}$
18.1	$6.3 \dots 10^{-6}$	$7.5 \dots 10^{-8}$	$1.1 \dots 10^{-11}$	$3.3 \dots 10^{-19}$
18.2	$4.6 \dots 10^{-6}$	$4.9 \dots 10^{-8}$	$6.3 \dots 10^{-12}$	$1.2 \dots 10^{-19}$

Таблица 16: Точность приближения  $P_n(\rho_{k+1})$  одним из корней уравнения (4.30) для  $n = 2$ ,  $\alpha = 0.4$ ,  $k = 1$  и разных значений  $N$  и  $\tau$ .

Отметим, что гипотеза Римана может быть сформулирована в терминах произведений  $P_n(\rho_k)P_n(\rho_{k+1})$  следующим образом: *для каждого  $k$  существует  $n$  такое, что  $n > 1$  и*

$$|P_n(\rho_k)P_n(\rho_{k+1})| = n^{-1} \quad (4.33)$$

(мы используем здесь известный факт, что первый нуль  $\rho_1$  лежит на критической прямой, дальше применяется индукция). Очевидно, что из гипотезы Римана следует, что равенство (4.33) выполнено для всех  $k$  и  $n$ .

## Список литературы

- [1] Yu. Matiyasevich. *Hidden Life of Riemann's Zeta Function 1. Arrow, Bow, and Targets*. <http://arxiv.org/abs/0707.1983>, 2007.
- [2] Yu. Matiyasevich. Riemann's zeta function: Some computations and conjectures. In A.-M. Ernvall-Hytonen, M. Jutila, J. Karhumäki, and A. Lepisto, editors, *Proceedings of Conference on Algorithmic Number Theory*, TUCS General Publication Series, volume 46, 87–112, 2007. ISSN 1239-1905, ISBN

978-952-12-2014-2, [https://logic.pdmi.ras.ru/~yumat/publications/publications.php?istate=state\\_show\\_paper&imykey=83&iLang=eng](https://logic.pdmi.ras.ru/~yumat/publications/publications.php?istate=state_show_paper&imykey=83&iLang=eng).

- [3] Yu. Matiyasevich. Riemann's Zeta Function: More Computations and Conjectures. In Anatasas Laurinčikas and Jörn Steuding, editors, *Voronoi's Impact on Modern Science. Proceedings of the 4th International Conference on Analytical Number Theory and Spacial Tesselations*, pages 2–11. Drahomanov National Pedagogical University, Kiev, Ukraine, 2008, ISBN 978-966-02-4890-8, 978-966-02-4891-5.
- [4] Yu. V. Matiyasevich. Crop circles drawn by Riemann's zeta function, *POMI Preprints*, 2, 2019. <http://www.pdmi.ras.ru/preprint/2019/19-02.html>, doi:10.13140/RG.2.2.11612.03200.
- [5] Yu. V. Matiyasevich. More crop circles drawn by Riemann's zeta function, *POMI Preprints*, 5, 2020. <http://www.pdmi.ras.ru/preprint/2020/20-05.html>, doi:10.13140/RG.2.2.22280.03847/1.
- [6] Yu. V. Matiyasevich. Hunting zeros of Dirichlet series by linear algebra. I. *POMI Preprints* 1, 2020, 18 pages; <http://www.pdmi.ras.ru/preprint/2020/20-01.html>, doi:10.13140/RG.2.2.29328.43528.
- [7] Yu. Matiyasevich. Continuous crop circles drawn by Riemann's zeta function. *Journal of Number Theory*, volume 229, pages 199—217, 2021; doi:10.1016/j.jnt.2021.04.025.
- [8] Yu. V. Matiyasevich. Discrete crop circles drawn by Riemann's zeta function, and its further remote properties. *POMI Preprints* 5, 2021, 36 pages; <http://www.pdmi.ras.ru/preprint/2021/21-05.html>, doi:10.13140/RG.2.2.20234.18880.
- [9] Yu. V. Matiyasevich. Hunting zeros of Dirichlet series by linear algebra. II. *POMI Preprints* 1, 2022, 18 pages; <http://www.pdmi.ras.ru/preprint/2022/22-01.html>, doi:10.13140/RG.2.2.20434.22720.
- [10] D. Platt and T. Trudgian. The Riemann hypothesis is true up to  $3 \cdot 10^{12}$ . *Bulletin of the London Mathematical Society*, volume 53, number 3, pages 792–797, 2021; doi:10.1112/blms.12460,
- [11] B. Riemann. Über die Anzahl der Primzahlen unter einer gegebenen Grösse. *Monatsberichter der Berliner Akademie*, 1859; English translation: <http://www.maths.tcd.ie/pub/HistMath/People/Riemann/Zeta/EZeta.pdf>.